

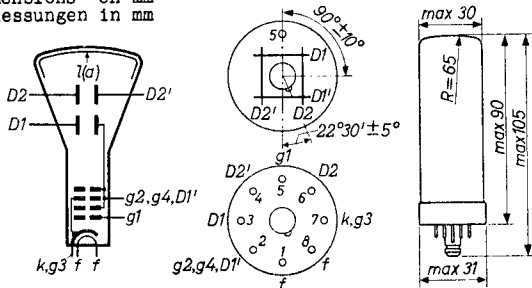
High vacuum CATHODE RAY TUBE for oscilloscopes
 TUBE A RAYONS CATHODIQUES à vide poussée pour oscillographie
 Hochvakuum KATODENSTRAHLRÖHRE für Oszilloskopie

Screen	Fluorescence	green
Ecran	Fluorescence	verte
Schirm	Fluoreszenz	grün
	Persistence	medium
	Persistante	moyenne
	Nachleuchtdauer	mittel

Useful screen diameter
 Diamètre utile de l'écran 28 mm
 Nutzbarer Schirmdurchmesser

Heating : indirect by A.C. or D.C.; parallel supply	$V_f = 6,3 \text{ V}$
Chauffage: indirect par C.A. ou C.C.; alimentation parallèle	$I_f = 0,55 \text{ A}$
Heizung : indirekt durch Wechsel- oder Gleichstrom; Paral- lelspeisung	

Dimensions in mm
 Dimensions en mm
 Abmessungen in mm



Base, culot, Sockel: OCTAL 8-p

Mounting position: any
 Montage : arbitrairement
 Einbau : beliebig

Net weight
 Poids net 39 g
 Nettogewicht

High vacuum CATHODE RAY TUBE for oscilloscopes
 TUBE À RAYONS CATHODIQUES à vide poussé pour oscilloscopie
 Hochvakuum KATODENSTRAHLRÖHRE für Oszilloskopie

Screen Ecran Schirm	DB 3-91	DH 3-91
Fluorescence	Blue	Green to blue
Fluorescence	Bleue	Verte jusqu'à bleue
Fluoreszenz	Blau	Grün bis blau
Persistence	Short	Short
Persistance	Courte	Courte
Nachleuchtdauer	Kurz	Kurz

Useful screen diameter
 Diamètre utile de l'écran 28 mm
 Nutzbarer Schirmdurchmesser

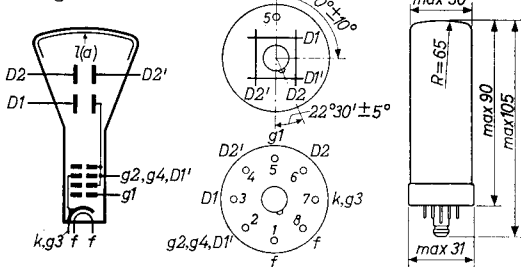
Heating : indirect by A.C. or D.C.;
 parallel supply

Chauffage: indirect par C.A. ou C.C.;
 alimentation parallèle

$V_f = 6,3 \text{ V}$
 $I_f = 0,55 \text{ A}$

Heizung : indirekt durch Wechsel-
 oder Gleichstrom;
 Parallelspeisung

Dimensions in mm
 Dimensions en mm
 Abmessungen in mm



Base, culot, Sockel: LOCTAL 8-p

Mounting position: arbitrary
 Montage : à volonté
 Einbau : beliebig

Net weight.
 Poids net .
 Nettogewicht 39 g

High vacuum CATHODE RAY TUBE for oscilloscopes
TUBE À RAYONS CATHODIQUES à vide poussé pour oscilloscopie
Hochvakuum KATODENSTRAHLRÖHRE für Oszilloskopie

Screen
Ecran
Schirm

	DB 3-91	DH 3-91
Fluorescence	Blue	Green to blue
Fluorescence	Bleue	Verte jusqu'à bleue
Fluoreszenz	Blau	Grün bis blau
Persistence	Short	Short
Persistante	Courte	Courte
Nachleuchtdauer	Kurz	Kurz

Useful screen diameter
Diamètre utile de l'écran
Nutzbarer Schirmdurchmesser 28 mm

Heating : indirect by A.C. or D.C.;
parallel supply

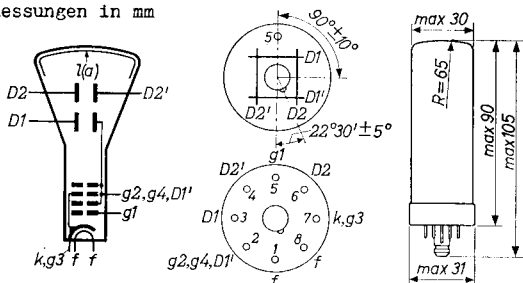
Chauffage: indirect par C.A. ou C.C.;
alimentation parallèle

Heizung : indirekt durch Wechsel-
oder Gleichstrom;
Parallel speisung

$$V_f = 6,3 \text{ V}$$

$$I_f = 0,55 \text{ A}$$

Dimensions in mm
Dimensions en mm
Abmessungen in mm



Base, culot, Sockel: LOCTAL 8-p

Mounting position: arbitrary
Montage : à volonté
Einbau : beliebig

Net weight
Poids net . 39 g
Nettogewicht

Capacitances	$C_{D1} = 3,5 \text{ pF}$	$C_{D2D2'} = 1,0 \text{ pF}$
Capacités	$C_{D2} = 4,5 \text{ pF}$	$C_{g1} = 6,0 \text{ pF}$
Kapazitäten	$C_{D2'} = 4,0 \text{ pF}$	$C_k = 9,0 \text{ pF}$

Focusing : electrostatic, self focusing
 Concentration: électrostatique, à auto-concentration
 Fokussierung : elektrostatisch, selbstfokussierend

Deflection : double electrostatic D_1D_1' asymmetr.
 Déviation : électrostatique double D_2D_2' symmetr.
 Ablenkung : doppel-elektrostatisch

Line width	$V_{g2,g4,D_1'} = 500 \text{ V}$
Epaisseur de la ligne	$I_\ell = 0,5 \mu\text{A}$
Linienbreite	Line width Epaisseur de la ligne $0,6 \text{ mm}^{-1}$ Linienbreite

Operating characteristics
 Caractéristiques d'utilisation
 Betriebsdaten

$V_{g2,g4,D_1'} = 500 \text{ V}$
$-V_{g1} = 8-27 \text{ V}^2)$
$N_1 = 0,22 \text{ mm/V}$
$N_2 = 0,19 \text{ mm/V}$

Circuit design values
 Valeurs d'étude du circuit
 Entwicklungsdaten der Schaltung

$-V_{g1} = 16-54 \text{ V}^2)$
Deflection factor $D_1D_1' = 9,1 \text{ V/mm}^3$
Coefficient de déviation $D_2D_2' = 10,5 \text{ V/mm}^3$

Max. circuit values
 Valeurs max. des éléments de montage $R_{g1} = \text{max. } 1 \text{ M}\Omega$
 Max. Werte der Schaltungsteile $R_D = \text{max. } 5 \text{ M}\Omega$

- ¹⁾ Measured on a circle of 25 mm diameter
 Mesuré à un cercle de diamètre de 25 mm
 Gemessen an einem Kreis von 25 mm Durchmesser
- ²⁾ For visual extinction of the focused spot
 Pour l'extinction visuelle du spot focalisé
 Für optische Löschung des fokussierten Leuchtpunktes
- ³⁾ Per kV of the voltage $V_{g2,g4,D_1'}$
 Par kV de la tension $V_{g2,g4,D_1'}$
 Pro kV der Spannung $V_{g2,g4,D_1'}$

Capacitances	$C_D = 3,5 \text{ pF}$	$C_{D_2 D_2'} = 1,0 \text{ pF}$
Capacités	$C_{D_2} = 4,5 \text{ pF}$	$C_g = 6,0 \text{ pF}$
Kapazitäten	$C_{D_2'} = 4,0 \text{ pF}$	$C_k = 9,0 \text{ pF}$

Focusing : electrostatic, self focusing
 Concentration: électrostatique, à auto-concentration
 Fokussierung : elektrostatisch, selbstfokussierend

Deflection	: double electrostatic	$D_1 D_1'$ asymmetr.
Déviation	: électrostatique double	$D_2 D_2'$ symmetr.
Ablenkung	: doppel-elektrostatisch	

Line width	$V_{g_2, g_4, D_1'} = 500 \text{ V}$
Epaisseur de la ligne	$I_\ell = 0,5 \mu\text{A}$
Linienbreite	
Line width	
Epaisseur de la ligne	$0,6 \text{ mm}^{-1})$
Linienbreite	

Operating characteristics
 Caractéristiques d'utilisation
 Betriebsdaten

$V_{g_2, g_4, D_1'} = 500 \text{ V}$
$-V_{g_1} = 8-27 \text{ V}^2)$
$N_1 = 0,22 \text{ mm/V}$
$N_2 = 0,19 \text{ mm/V}$

Circuit design values
 Valeurs d'étude du circuit
 Entwicklungsdaten der Schaltung

$-V_{g_1} = 16-54 \text{ V}^2)$	
Deflection factor	$D_1 D_1' = 9,1 \text{ V/mm}^3)$
Coefficient de déviation	$D_2 D_2' = 10,5 \text{ V/mm}^3)$
Ablenkungskoeffizient	

Max. circuit values
 Valeurs max. des éléments de montage
 Max. Werte der Schaltungsteile

$R_{g_1} = \text{max. } 1 \text{ M}\Omega$
$R_D = \text{max. } 5 \text{ M}\Omega$

- ¹) Measured on a circle of 25 mm diameter
 Mesuré à un cercle de diamètre de 25 mm
 Gemessen an einem Kreis von 25 mm Durchmesser
- ²) For visual extinction of the focused spot
 Pour l'extinction visuelle du spot focalisé
 Für optische Löschung des fokussierten Leuchtpunktes
- ³) Per kV of the voltage $V_{g_2, g_4, D_1'}$
 Par kV de la tension $V_{g_2, g_4, D_1'}$
 Pro kV der Spannung $V_{g_2, g_4, D_1'}$

Capacitances	$C_{D1} = 3,5 \text{ pF}$	$C_{D2D2'} = 1,0 \text{ pF}$
Capacités	$C_{D2} = 4,5 \text{ pF}$	$C_{g1} = 5,6 \text{ pF}$
Kapazitäten	$C_{D2'} = 4,5 \text{ pF}$	

Focusing : electrostatic, self focusing
 Concentration: électrostatique, à auto-concentration
 Fokussierung : elektrostatisch, selbstfokussierend

Deflection : double electrostatic D_1D_1' asymmetr.
 Déviation : électrostatique double D_2D_2' symmetr.
 Ablenkung : doppel-elektrostatisch

Line width	$V_{g2,g4,D_1'} = 500 \text{ V}$
Epaisseur de la ligne	$I_\ell = 0,5 \mu\text{A}$
Linienbreite	
Line width	$V_{g2,g4,D_1'} = 500 \text{ V}$
Epaisseur de la ligne	$I_\ell = 0,5 \mu\text{A}$
Linienbreite	$0,6 \text{ mm } ^1)$

Operating characteristics
 Caractéristiques d'utilisation
 Betriebsdaten

$V_{g2,g4,D_1'} = 500 \text{ V}$
$-V_{g1} = 8-27 \text{ V } ^2)$
$N_1 = 0,22 \text{ mm/V}$
$N_2 = 0,19 \text{ mm/V}$

Circuit design values
 Valeurs d'étude du circuit
 Entwicklungsdaten der Schaltung

$-V_{g1} = 16-54 \text{ V } ^2)$
Deflection factor $D_1D_1' = 9,1 \text{ V/mm } ^3)$
Coefficient de déviation $D_1D_1' = 9,1 \text{ V/mm } ^3)$
Ablenkungskoeffizient $D_2D_2' = 10,5 \text{ V/mm } ^3)$

Max. circuit values
 Valeurs max. des éléments de montage $R_{g1} = \text{max.} 1 \text{ M}\Omega$
 Max. Werte der Schaltungsteile $R_D = \text{max.} 5 \text{ M}\Omega$

- ¹⁾ Measured on a circle of 25 mm diameter
 Mesuré à un cercle de diamètre de 25 mm
 Gemessen an einem Kreis von 25 mm Durchmesser
- ²⁾ For visual extinction of the focused spot
 Pour l'extinction visuelle du spot focalisé
 Für optische Löschung des fokussierten Leuchtpunktes
- ³⁾ Per kV of the voltage $V_{g2,g4,D_1'}$
 Par kV de la tension $V_{g2,g4,D_1'}$
 Pro kV der Spannung $V_{g2,g4,D_1'}$

Limiting values (absolute limits)

Caractéristiques limites (limites absolues)

Grenzdaten (absolute Grenzwerte)

$V_{g2,g4,D1'}$ = max. 1000 V
= min. 350 V

W = max. 2 mW/cm²

- V_{g1} = max. 100 V
= min. 1 V

V_{kfp} = max. 250 V

Limiting values (absolute limits)

Caractéristiques limites (limites absolues)

Grenzdaten (absolute Grenzwerte)

$$V_{g2,g4,D1'} = \text{max. } 1000 \text{ V}$$

$$W_f = \text{max. } 2 \text{ mW/cm}^2$$

$$-V_{g1} = \text{max. } 100 \text{ V}$$

$$= \text{min. } 1 \text{ V}$$

$$V_{kfp} = \text{max. } 250 \text{ V}$$

Remark: When the D₂D₂'- electrodes are used symmetrically the mean potential of these plates must be that of g₂,g₄. Asymmetrical operation is permissible, but will give rise to trapezium distortion. In this case the potential of each plate should not differ from V_{g2,g4} by more than the deflection voltage

Observation: Si les électrodes D₂D₂' sont utilisées symétriquement le potentiel moyen de ces plaques doit être le même que celui de g₂,g₄. Utilisation asymétrique est admissible, mais produira de distorsion en trapèze. Dans ce cas le potentiel de chaque plaque ne doit pas différer de V_{g2,g4} de plus que la tension de déviation

Bemerkung: Wenn die D₂D₂'- Elektroden symmetrisch gebraucht werden, soll das mittlere Potential dieser Platten mit dem von g₂,g₄ übereinstimmen. Asymmetrische Verwendung dieser Platten ist gestattet, wird aber zu Trapezverzerrung Anlass geben. In diesem Falle soll das Potential jeder Platte um nicht mehr als die Ablenkspannung von V_{g2,g4} abweichen

PHILIPS

Electronic
Tube

HANDBOOK

DB3-91 DH3-91

page	sheet	date
1	1	1958.07.07
2	1	1960.05.05
3	1	1960.11.11
4	2	1958.07.07
5	2	1960.05.05
6	2	1960.11.11
7	3	1958.07.07
8	3	1960.05.05
9	FP	2000.09.24